

## مغناطیس سنجیهای زمینی بر روی بی‌هنگاریهای مغناطیسی هوابردی در منطقه معدن مس دهنۀ سیاه و منطقه اکتشافی KC5 (بردسکن)

محمد رضا حیدریان شهری، محمد حسن کریم‌پور و آزاده ملک‌زاده شفارودی

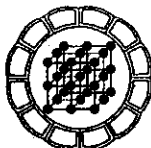
گروه زمین‌شناسی، دانشکده علوم، دانشگاه فردوسی مشهد

E-mail: hshahri@ferdowsi.um.ac.ir

(دریافت مقاله ۸۴/۳/۲۶ ، دریافت نسخه نهایی ۸۴/۵/۱۷)

چکیده: محدوده اکتشافی مس KC5 در ۸۰ کیلومتری شمال غرب بردسکن و ۴ کیلومتری شمال شرقی معدن مس دهنۀ سیاه در خراسان رضوی است. مناطق KC5 و دهنۀ سیاه جزء زون زمین‌شناسی سبزوار هستند. کانی‌سازی مس بیشتر در غالب کانیهای ثانویه مالاکیت و کالکوزیت به صورت پرکننده درز و شکستگیها در مرز سنگهای آتشفسانی و سنگهای سری عربان (کربنات و توف)، که گسلی است مشاهده می‌شود. بی‌هنگاری مغناطیسی سنجی هوابردی بیضی شکل با شدت بالایی روی مرز بین سنگهای آتشفسانی و سنگهای کربناته معدن مس قدیمی متروکه را تعقیب کرده و تا منطقه اکتشافی KC5 و معدن مس دهنۀ سیاه ادامه می‌یابد. مطالعات وجود مگنتیت حداقل تا ۵ درصد در سنگهای آتشفسانی را نشان می‌دهد. پذیرفتاریهای مغناطیسی سنگهای آتشفسانی در مناطق KC5 غربی، KC5 شرقی و دهنۀ سیاه نشان می‌دهد که این پارامتر در اولی نصف دومی و سومی است. بی‌هنگاریهای مغناطیسی واحدهای آتشفسانی در KC5 شرقی تفاوت چندانی با یکدیگر نداشته اما دامنه آنها کمتر از بی‌هنگاریهای مربوط به همان واحدها در منطقه KC5 غربی است. دامنه بی‌هنگاری واحد آتشفسانی دهنۀ سیاه از بی‌هنگاریهای همان واحد در مناطق KC5 غربی و شرقی کوچکتر است. پذیرفتاری مغناطیسی کوچکتر نمونه‌های سطحی واحدهای آتشفسانی در منطقه KC5 غربی و بی‌هنگاری با دامنه بزرگتر آنها در مقایسه با بی‌هنگاریهای واحدهای آتشفسانی مشابه در KC5 شرقی و دهنۀ سیاه می‌رساند که باید خاستگاه بی‌هنگاری مغناطیسی و کانی‌سازی در منطقه KC5 غربی عمیق باشد. هم‌آهنگی بی‌هنگاری مغناطیسی هوابردی با معادن مس قدیمی (از جمله معدن مس دهنۀ سیاه و منطقه اکتشافی KC5)، مرز فوکانی بین سنگهای آتشفسانی و تنشستهای کربناته و بی‌هنگاریهای ژئوشیمیابی نشان دهنده ارتباط کانی‌سازی اصلی با بی‌هنگاری مغناطیسی است.

واژه‌های کلیدی: پذیرفتاری مغناطیسی، بی‌هنگاری مغناطیسی، KC5، دهنۀ سیاه و بردسکن.



## Ground magnetic survey over an aeromagnetic anomaly in the Dahaneh Siah copper deposit and KC5 exploration prospect (Bardaskan)

M. R. Haidarian Shahri, M. H. Karimpour, A. Malekzadeh

*The Geology department, Ferdowsi University of Mashhad*  
E-mail: hshahri@ferdowsi.um.ac.ir

(Received: 16/06/2005, received in revised form: 08/08/2005)

**Abstract:** KC5 copper exploration prospect is located 80 Km to the northwest of Bardaskan and 4 Km to the Northeast of Dahaneh Siah copper mine in Khorasan Razavi. KC5 and Dahaneh Siah areas belong to Sabzevar geological Zone. Copper mineralization is observable mainly as secondary minerals such as Malachite and Chlorite which fills joints and fractures in a faulty contact at the boundary of the volcanic and Oriyan sedimentary (carbonaceous and tuff) rocks. High intensity ellipsoidal aeromagnetic anomaly overlies the boundary between the volcanic and carbonaceous rocks which follows old abandoned copper mines and extends to the KC5 prospect and Dahaneh Siyah area. Studies indicate the presence of magnetite up to maximum 5% in the volcanic rocks. Magnetic susceptibilities of the volcanic rocks in the KC5 west, KC5 east and Dahaneh Siyah show that this parameter is 2 times smaller in the first area than in the second and third. Magnetic anomalies of the two volcanic units in the KC5 east are similar but their amplitudes are lower than the anomalies produced by the same units in the KC5 west. Anomaly amplitudes of the Dahaneh Siyah volcanic are smaller than those produced by the same volcanic unit in the KC5 west and east. Lower magnetic susceptibilities of surface volcanic samples in the KC5 west and their higher amplitude anomalies in comparison with the anomalies from similar volcanic units in the KC5 east and Dahaneh Siyah implies that the source of the anomaly and main mineralization at KC5 west must be deep. Correlation of aeromagnetic anomaly with old abandoned copper mine (including the Dahaneh Siyah copper mine and the KC5 prospect area), upper boundary of the volcanic and carbonaceous sediment and geochemical anomaly of the region are indications of the relation of main mineralization with aeromagnetic anomaly.

**Keywords:** Magnetic susceptibility, Magnetic anomaly, KC5, Dahaneh Siah, Iran

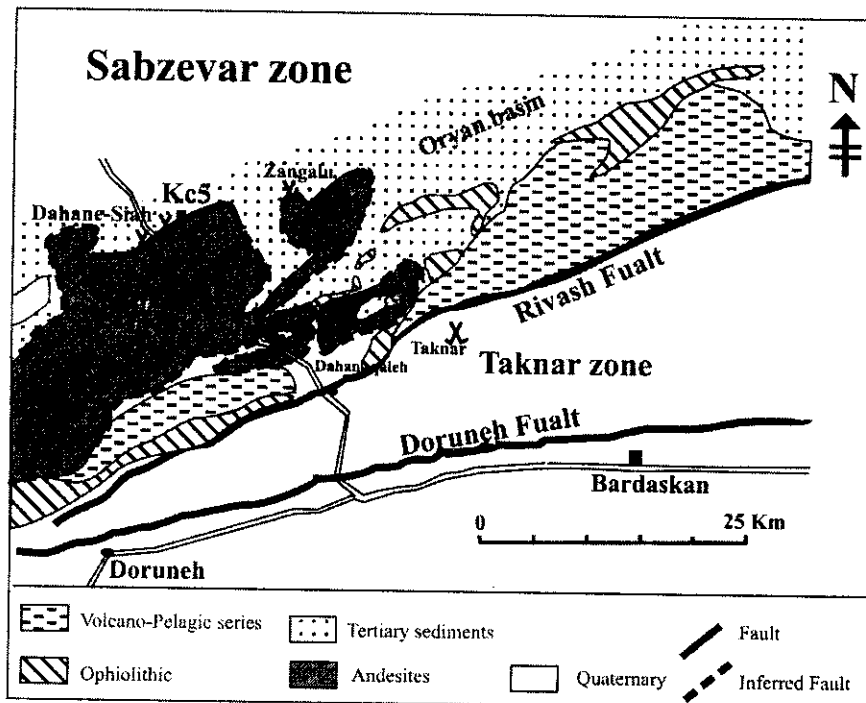
## مقدمه

محدوده اکتشافی مس KC5 در ۸۰ کیلومتری شمال غربی شهرستان بردسکن و در ۴ کیلومتری شمال شرقی معدن مس دهنۀ سیاه در محدوده خراسان رضوی قرار دارد. از نظر ساختاری این دو منطقه جزیی از زون زمین‌شناسی سبزوار محسوب می‌شوند. زمین‌شناسی زون سبزوار مشتمل از سنگهای آتشفسانی پلازیک، افیولیت، سنگهای آتشفسانی و تهنشستهای عریان بوده و به وسیله گسل تکنار (ریوش) در جنوب و گسل شاهروود در شمال محدود می‌شود (شکل ۱). در سمت غرب مرز جنوبی این زون گسل درونه است [۱ تا ۶]. شکل ساختاری این زون متأثر از گسلهای محدود کننده آن بوده بطوریکه روند بسیاری از مجموعه‌های چین خورده همانگ با گسلهای محدود کننده آن (شرقی- غربی تا شمال شرقی- جنوب غربی) است. کانی‌سازی مس در هر دو منطقه بیشتر در غالب کانیهای ثانویه مالاکیت و کالکوزیت (در سطح، کندوکاوهای قدیمی و مغزه‌های حفاری دو چاه از دهنۀ سیاه) به صورت پرکننده درز و شکستگیها در مرز فوکانی واحد آتشفسانی (آندرزیتی) و بخش تحتانی تهنشستهای عریان که یک مرز گسلی است، مشاهده می‌شود.

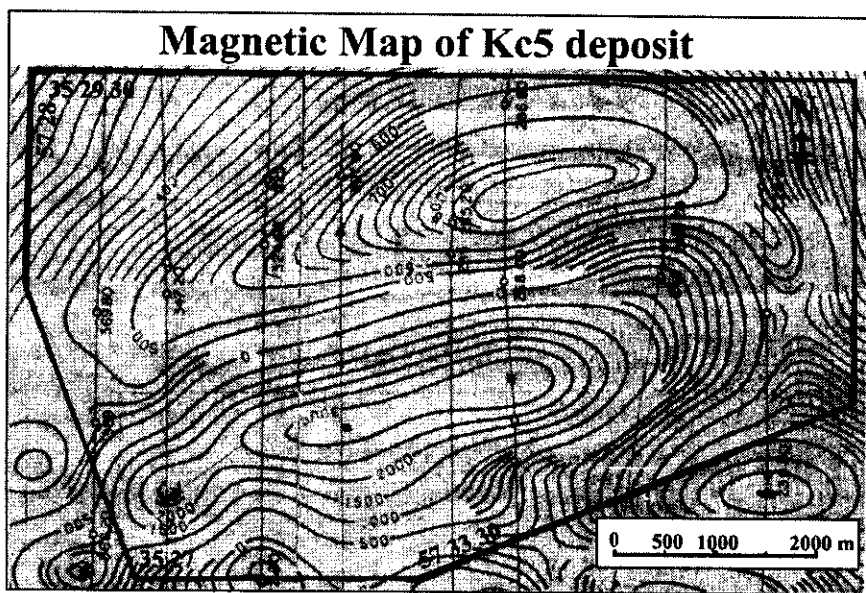
نقشه ۱:۵۰۰۰۰ مغناطیس سنجی هوایی سازمان انرژی اتمی (۱۹۷۶-۸) با فاصله خطوط پرواز ۴۰۰ الی ۱۰۰۰ متر و ارتفاع پرواز ۱۲۰ تا ۱۸۰ متر بی‌هنجری مغناطیسی بیضی شکل با شدت بالایی را بر روی سنگهای آتشفسانی (آندرزیتها) منطقه KC5 نشان می‌دهد که در جهت جنوب غربی تا معدن مس دهنۀ سیاه ادامه دارد (شکل ۲) [۷]. این بی‌هنجری در امتدادی نسبتاً طولانی با معادن مس متراکه قدیمی، بی‌هنجری‌های ژئوشیمیابی ناحیه‌ای و نیز شاخصهای معدنی هم آهنگی دارد. هدف از این تحقیق پیدا کردن ارتباط بین بی‌هنجری با شدت بالای مغناطیس هوایی مشاهده شده و کانی‌سازی مس در معدن مس دهنۀ سیاه است. نتایج این ارتباط می‌تواند به منطقه اکتشافی KC5 که همان واحد سنگی، ویژگیهای کانی‌سازی و بی‌هنجری مغناطیس هوایی را دارد تعمیم داده شود.

## روش مطالعه

- به منظور بررسی ارتباط زمین‌شناسی - کانی‌سازی منطقه و پاسخهای مغناطیسی آن، مطالعات در دو بخش زمین‌شناسی و ژئوفیزیکی انجام شد. مطالعات زمین‌شناسی - کانی‌سازی شامل:
- تصحیح نقشه زمین‌شناسی محدوده اکتشافی مس KC5 بر روی نقشه ۱:۲۵۰۰۰ کاشمر.
  - مطالعه ۲۳ مقطع نازک و ۲ بلوک صیقلی از KC5 و دهنۀ سیاه (از سطح در KC5 و از مغزه‌ها در دهنۀ سیاه).
  - مطالعه مغزه‌های حفاری چاه شماره ۱۲ به عمق ۹۲,۸۵ متر و چاه شماره ۲۸ به عمق ۶۰ متر از معدن دهنۀ سیاه.
  - مطالعات کانی‌شناسی با استفاده از XRD محتویات داخل حفره‌های سنگهای آتشفسانی [۴]



شکل ۱ نمای زون سبزوار و واحدهای تشکیل دهنده آن (با تغییرات پس از [۱] [۷]).



شکل ۲ بی‌亨جاری مغناطیسی مثبت روی محدوده KC5 (برگرفته از نقشه ۱:۵۰۰۰۰ مغناطیسی هواشناسی سازمان انرژی اتمی).

### مطالعات زئوفیزیکی شامل:

۱- اندازه‌گیری پذیرفتاری مغناطیسی روی ۶۵ نمونه از واحدهای آتشفسانی در سطح زمین در هر دو منطقه و مغزه‌های دهنۀ سیاه، نمونه‌های سرباره معدن دهنۀ سیاه و چند نمونه آهکی - مارنی از KC5.

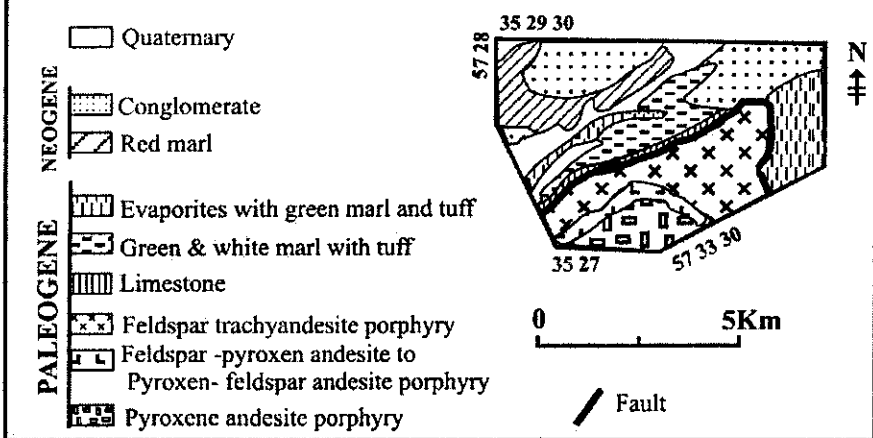
۲- اندازه‌گیری شدت کل میدان مغناطیسی (TMI) جمعاً در ۲۳۶ نقطه (هشت نیمرخ) دو منطقه که ۵۲ نقطه آن به دهنۀ سیاه و بقیه متعلق به KC5 تعلق دارد. مغناطیس سنج مورد استفاده از نوع پروتون مدل ENVI با دقت  $1 \times 10^{-5}$  SI بوده که هر دو ساخت شرکت سینترکس کانادا و متعلق به بخش زمین‌شناسی دانشگاه فردوسی مشهد بوده است.

### زمین‌شناسی و سنگ‌شناسی

زمین‌شناسی و سنگ‌شناسی واحدهای آتشفسانی منطقه KC5 و دهنۀ سیاه توسط کریم‌پور و ملک‌زاده [۸] و حیدری و همکاران [۹] به تفضیل تشریح شده است. زمین‌شناسی محلی محدوده اکتشافی KC5 و دهنۀ سیاه بیشتر شامل مجموعه سنگ‌های آتشفسانی و ته‌نشستی ترشیری است.

واحدهای آذرین محدوده KC5 از گذاره‌های آندزیتی زیر دریایی نهشته در یک حوضه کم-عمق تشکیل شده که با آهکهای غنی از فسیلهای دوکفهای و نومولیت به سن پالئوسن - ائوسن پوشیده شده است. مجموعه آتشفسانی از سه واحد سنگی شامل پیروکسن آندزیت پورفیری، فلدسپار تراکی آندزیت پورفیری و واحد انتقالی بین آن دو یعنی، فلدسپار پیروکسن آندزیت تا پیروکسن فلدسپار آندزیت پورفیری تشکیل شده است (شکل ۳).

**Geological map of KC5**



شکل ۱۳ نقشه زمین‌شناسی محدوده KC5 (برگرفته از [۵] با تغییرات اساسی [۶])

واحد پیروکسن آندزیت پورفیری در آغاز فعالیتهای آتشفسانی فوران کرده و به دلیل داشتن درزهای شکستگیها و بلورهای درشت تا اندازه‌ای دگرسان شد و سپس تحت تأثیر فرسایش فیزیکی قرار گرفت و تپه ماهورهایی با پستی و بلندی‌های کم را در محدوده KC5 تشکیل داده است. این واحد در معن مس دهنۀ سیاه دیده نمی‌شود و بیشتر از درشت بلورهای کلینوپیروکسن در حد اوژیت - اژرین و کمی دیوپسید به میزان ۳۰ تا ۴۰ درصد با بافت پورفیری تا گلومرپورفیری تشکیل شده‌است. کانیهای زمینه شامل پیروکسن، پلازیوکلاز، کانیهای اوپک و کانیهای حاصل از دگرسانی است. مقدار کانیهای اوپک در این سنگها قابل توجه و در حد ۳ تا ۸ درصد است. حفره‌های ناشی از خروج گازهای آتشفسانی در این واحد در حد ۸ تا ۱۰ درصد بوده و با کانیهای دگرسان پر شده‌اند. دگرسانی در این واحد از نوع پروپلیتیک بوده و کانیهای آن شامل کلریت، اپیدوت، کمی زئولیت و کلسیت است. کلریت و اپیدوت در متن سنگ و زئولیت و کلسیت در حفره‌ها قرار دارند.

واحد فلدسپار تراکی آندزیت پورفیری به صورت نواری صخره‌ساز با روند شمال شرقی-جنوب غربی ارتفاعات محدوده KC5 و دهنۀ سیاه را تشکیل داده و از سمت شمال با سنگهای تنه‌نشستی عربان پوشیده شده است. در معن مس دهنۀ سیاه سنگها تنه‌نشستی عربان شمال واحد آتشفسانی شامل ماسه سنگ و کنگلومرا در KC5 سنگ آهک نومولیت‌دار است. واحد فلدسپار تراکی آندزیت پورفیری از فنوکریستهای پلازیوکلاز در حد آندزین تا الیگوکلاز و با آندزین تا لابرادوریت با میانگین ۲۰ الی ۳۰ درصد تشکیل شده‌است. کانیهای زمینه شامل پلازیوکلاز، فلدسپار قلایی، کوارتز، کانیهای اوپک و کانیهای حاصل از دگرسانی است. حفره‌های کانیهای اوپک در حد ۳ تا ۶ درصد بوده و اندازه آنها در حد ۲ تا ۳ میلیمتر است. حفره‌های ناشی از خروج گازهای آتشفسانی در این واحد آتشفسانی کمتر از واحد پیروکسن آندزیت پورفیری بوده و در حد ۲ تا ۳ درصد است، در عرض قطر حفرها بزرگ‌تر بوده و تا ۲ میلی متر می‌رسد. حفره‌های سنگها اغلب با کانیهای حاصل از دگرسانی مثل زئولیت و کلسیت پر شده است. زئولیت در حاشیه حفره‌ها و یا در متن سنگ به شکل رشته‌ای بوده و به طور متوسط به ۱۵ درصد و کلسیت بیشتر در میان حفره‌ها وجود دارد و تا ۵ درصد می‌رسد.

واحد فلدسپار پیروکسن آندزیت تا پیروکسن فلدسپار آندزیت پورفیری یعنی واحد انتقالی در میان واحدهای پیروکسن آندزیت پورفیری در جنوب و فلدسپار تراکی آندزیت پورفیری در شمال دیده می‌شود. بافت این سنگ پورفیری و دارای بلورهای درشت و کشیده پلازیوکلاز و کلینوپیروکسن است. مقدار کلینوپیروکسن در سمت واحد پیروکسن آندزیت پورفیری بیشتر بوده و به طرف واحد فلدسپار تراکی آندزیت پورفیری به تدریج از مقدار آنها کاسته شده و بر مقدار پلازیوکلاز به عنوان فنوکریست اضافه می‌شود. این حالت ناشی از تبدیل تدریجی واحد پیروکسن آندزیت پورفیری به واحد فلدسپار تراکی آندزیت پورفیری است. در واحد انتقالی فنوکریست در حد ۳۰ تا ۴۰ درصد است. کانیهای زمینه پلازیوکلاز، کلینوپیروکسن،

کوارتز، کمی قلیابی فلدسپار، کانیهای اوپاک و کانیهای حاصل از دگرسانی است. کانیهای اوپاک در حد ۲ تا ۳ درصد بوده و میزان حفره‌ها به ۵ تا ۶ درصد می‌رسد که با کانیهای دگرسان پر شده‌اند. دگرسانی بیشتر پروپلیتیک-زئولیتی بوده و کانیهای آن عبارتند از کلریت، اپیدوت، زئولیت و کلسیت.

### ژئوشیمی منطقه‌ای ناحیه‌ای و کانی‌سازی

بررسی پی‌جوئیهای شیمی منطقه‌ای بر اساس تنه‌نشستهای رودخانه‌ای در ورقه‌های ۱:۱۰۰۰۰ درونه و برداشتن که از سوی سازمان زمین‌شناسی کشور در سالهای ۱۹۹۵ تا ۱۹۹۲ [۱۰] انجام شده وجود چندین بی‌亨جاري مس در شمال درونه را نشان می‌دهد. بررسیهای صحرایی نشان می‌دهد که محدوده‌هایی که بر اساس نتایج بررسیهای ژئوشیمیابی مشخص شده بیشتر در مجاورت شاخهای کانی‌سازی و معادن متروکه قدیمی قرار دارند [۱۱]. دو نمونه از این محدوده‌ها که دارای بی‌亨جاري است، عبارتند از معدن مس دهنۀ سیاه و منطقه اکتشافی مس KC5. بی‌亨جاري مس در KC5 بیش از ۱۵۰ ppm است [۱۰]. کانی‌سازی منطقه KC5 و دهنۀ سیاه به تفصیل تشریح شده است [۸ و ۱۱].

معدن مس دهنۀ سیاه از دیرباز شناسایی شده و آثار کار شدادی و دپوهای زیادی از سرباره در مجاورت کوره‌های قدیمی ذوب مس در منطقه دیده می‌شود. کانی‌سازی بیشتر به صورت رگچه‌های کالکوزیت و ملاکیت به صورت پرکننده درز و شکستگیها در نزدیک مرز فوکانی واحد آتشفشنایی فلدسپار تراکی آندزیت پورفیری با بخش‌های تحتانی واحد کنگلومراei ماسه‌ای اثوسن میانی در مرزی گسلی تشکیل شده است. مغزه‌های حفاری نیز بیشتر همان رگچه‌های کالکوزیت را با ضخامت ۲ تا ۳ میلیمتر نشان داده و فاقد کانی‌سازی مگنتیت است. این بخش از کانی‌سازی، بخش اکسیده و ثانویه بوده و کانی‌سازی اولیه قطعاً در عمق وجود دارد (در قسمتهای اصلی کانی‌سازی معدن). کانیهای کوپریت، بورنیت و کالکوپیریت نیز به عنوان کانی فرعی این کانسار ذکر شده است [۱۲].

عرض ناحیه کانی‌سازی شده در محل مرز فلدسپار تراکی آندزیت پورفیری با تنه‌نشستهای ترشیری سری عریان به ۲۰ متر می‌رسد. طول کانی‌سازی به صورت ناپیوسته در طول مرز واحد آتشفشنایی با سنگهای رسوبی حتی در خارج از محدوده معدن از شرق به غرب ادامه دارد و به حدود ۴۰ کیلومتر می‌رسد. عیار مس در معدن مس دهنۀ سیاه نزدیک به ۱ تا ۳ درصد است (زون غنی شده تا ۸ درصد) و ذخیره آن در حدود ۱۰۰۰۰ تن با عیار میانگین ۲ درصد برآورد شده است [۸ و ۹].

در محدوده اکتشافی KC5، کانی‌سازی مشاهده شده نیز بیشتر ملاکیت و کمی کالکوزیت (در کنده‌کاریهای قدیمی) به صورت پرکننده درز و شکستگیهای است که با عرضی در حدود ۲/۵ متر در محل مرز واحد فلدسپار تراکی آندزیت پورفیری و بخش تحتانی واحد آهکی (مرز

گسلی) دیده می‌شود. کنده‌کاریهای قدیمی در تمامی این مرز مشاهده می‌شود. طول زون کانی‌سازی نیز به صورت ناپیوسته (با اندازه طول واحد آتشفشاری و رسوبی) در حدود ۴۰ کیلومتر، در محدوده اکتشافی و خارج از آن ادامه دارد [۸ و ۹].

#### دگرسانی

دگرسانی مشاهده شده همراه با کانی‌سازی در معدن مس دهنۀ سیاه غالباً از نوع زئولیت- کلسیت و کمی پروپلیتیک است. کلسیت بیشتر در وسط حفره‌ها و زئولیت در حاشیه قرار دارد. در منطقه اکتشافی KC5، دگرسانی مرتبط با محلول کانی‌ساز به دو زون پروپلیتیک و زئولیت- کلسیت قابل تفکیک است. اولی در واحد پیروکسن آندزیت پورفیری و دور از کانی- سازی مشاهده شده و شامل کانیهای کلریت و اپیدوت است، و دومی در واحد فلدسپار تراکی آندزیت پورفیری همراه با کانی‌سازی دیده می‌شود، و شامل زئولیت در متن سنگ و در حاشیه حفره‌ها و کلسیت بیشتر در میانه آنها قرار دارد [۸ و ۹].

به منظور تعیین نوع زئولیتها، محتویات درون حفره‌های سنگهای آتشفشاری از منطقه دهنۀ سیاه و KC5 خارج و پر از پودر کردن مورد آنالیز XRD قرار گرفتند. بررسیها نشان داد که زئولیتها بیشتر از نوع لامونیت ( $\text{CaAl}_2\text{Si}_4\text{O}_{12}$ ,  $2\text{H}_2\text{O}$ ), واراکیت ( $\text{CaAl}_2\text{Si}_4\text{O}_{12}$ ) و اسکلوسیت ( $\text{CaAl}_2\text{Si}_3\text{O}_{10}$ ,  $3\text{H}_2\text{O}$ ) هستند [۹ و ۱۲].

#### اندازه گیریهای پذیرفتاری مغناطیسی

پذیرفتاری مغناطیسی یکی از سرتیهای مغناطیسی سنگ بوده که آگاهی از آن تعبیر و تفسیر مغناطیسی را محدود ساخته و می‌تواند بسیاری از ابهامات را که بر روش مغناطیسی سنگی اثر می‌گذارد، پاسخ دهد [۱۳ و ۱۴]. به منظور آگاهی از میزان پذیرفتاری مغناطیسی سنگ میزان (واحد فلدسپار تراکی آندزیت پورفیری) در معدن مس دهنۀ سیاه، از دو چاه حفر شده در این واحد اندازه گیریهای پذیرفتاری مغناطیسی انجام شد (این دو چاه دور از کانی‌سازی اصلی معدن قرار داشته و چاههای محل کانی‌سازی اصلی که در اختیار شرکت توسعه مس بود، در اختیار قرار نگرفت). چاه شماره ۱۲ تا عمق ۹۲/۸۵ متر بوده که به طور تصادفی از ابتدای انتهای چاه تعداد ۲۵ اندازه گیری انجام شد (جدول ۱). محدوده تغییرات پذیرفتاری مغناطیسی در این واحد بین حداقل  $2032 \times 10^{-5}$  تا  $20750 \times 10^{-5}$  SI متغیر است (جدول ۱). این میزان پذیرفتاری مغناطیسی اندازه گیری شده در محدوده پذیرفتاری مغناطیسی آندزیت قرار می‌گیرد [۱۵]. واحد فلدسپار تراکی آندزیت پورفیری خود حاوی حدود ۳ تا ۶ درصد مغنتیت بوده که در این میزان پذیرفتاری مغناطیسی آندزه گیری شده منعکس شده است.

در چاه شماره ۲۸ با عمق ۶۰ متر، ۱۶ اندازه گیری پذیرفتاری مغناطیسی به طور گستره‌ای از مغزه‌های آن به عمل آمد (جدول ۲). محدوده میزان تغییرات پذیرفتاری مغناطیسی در این چاه از پیشنهاد شده  $2750 \times 10^{-5}$  تا  $302 \times 10^{-5}$  SI متغیر بوده است. مقایسه این محدوده

تغییرات پذیرفتاری مغناطیسی با مقادیر گزارش شده پذیرفتاری مغناطیسی در منابع رئوفیزیکی برای سنگهای آندزیتی مطابقت دارد [۱۵]. مقایسه میانگین کل پذیرفتاری مغناطیسی بین دو چاه (جدولهای ۱ و ۲) تغییر محبوسی را نشان نمی‌دهد. تعداد شش اندازه-گیری پذیرفتاری مغناطیسی از سرباره‌های انبوه شده محل معدن انجام شد (جدول ۳).

جدول ۱ پذیرفتاری مغناطیسی چاه شماره ۱۲ از معدن مس دهنہ سیاه [۸]

ردیف	عمق نمونه(متر)	پذیرفتاری مغناطیسی(SI)	توضیحات
۱	۱,۰	$۱۳۷۹ \times 10^{-5}$	در ابتدا آثار ملاکیت دیده می‌شود
۲	۲	$۵۴۷ \times 10^{-5}$	
۳	۳۸,۲۰	$۳۵۶ \times 10^{-5}$	
۴	۴۰,۲۰	$۱۱۲۳ \times 10^{-5}$	
۵	۴۳,۵۸	$۱۱۸۶ \times 10^{-5}$	واحد سنگی کل چاه واحد فلزسپات تراکی آندزیت
۶	۴۵,۰۵	$۱۳۸۱ \times 10^{-5}$	پورفیری با آلتراسیون زولیت - کلسیت تا زولیت -
۷	۴۶,۱۵	$۱۰۱ \times 10^{-5}$	کلسیت - کلریت می‌باشد.
۸	۴۸,۴۰	$۱۶۵ \times 10^{-5}$	
۹	۴۸,۶۶	$۴۵۷ \times 10^{-5}$	
۱۰	۵۰	$۱۱۱ \times 10^{-5}$	به سمت عمق درصد حفرات در حال زیاد شدن و
۱۱	۵۱,۰۶	$۲۶۸ \times 10^{-5}$	آمیگدالها نیز در حال زیاد شدن است.
۱۲	۵۸,۳۵	$۳۸۲ \times 10^{-5}$	
۱۳	۵۶,۹۰	$۴۰,۹ \times 10^{-5}$	
۱۴	۶۳,۵۰	$۲۰,۳۲ \times 10^{-5}$	
۱۵	۷۰,۳۰	$۱۳۳۳ \times 10^{-5}$	در عمق رگجه‌های کالکوزیت دیده می‌شود.
۱۶	۷۷,۴۵	$۱۵۲۷ \times 10^{-5}$	
۱۷	۷۷,۵۰	$۷۰,۲ \times 10^{-5}$	
۱۸	۵۷,۷۰	$۱۵۷۵ \times 10^{-5}$	
۱۹	۸۰,۳۵	$۹۰,۴ \times 10^{-5}$	
ردیف	عمق نمونه(متر)	پذیرفتاری مغناطیسی(SI)	
۲۰	۷۹,۹۵	$۳۱۷ \times 10^{-5}$	
۲۱	۸۴,۱۰	$۱۵۵۶ \times 10^{-5}$	
۲۲	۸۶,۲۵	$۱۲۵,۰ \times 10^{-5}$	
۲۳	۸۷	$۱۷۵۸ \times 10^{-5}$	
۲۴	۸۸,۰۵	$۱۶۸۶ \times 10^{-5}$	
۲۵	۹۲,۸۵	$۱۹۲۲ \times 10^{-5}$	

جدول ۲ پذیرفتاری مغناطیسی چاه شماره ۲۸ از معدن مس دهن سیاه [۸]

ردیف	عمق نمونه (متر)	پذیرفتاری مغناطیسی (SI)	توضیحات
۱	۶,۸۰	$۱۳۵۱ \times 10^{-5}$	
۲	۹,۱۵	$۱۸۱۵ \times 10^{-5}$	
۳	۱۲,۷۰	$۱۳۲۹ \times 10^{-5}$	
۴	۱۵,۶۵	$۸۹۵ \times 10^{-5}$	واحد فلدسپات تراکی آندزیت پورفیری
۵	۱۵,۵۵	$۳۰۲ \times 10^{-5}$	تخلخل و درز شکستگی در واحد سنگی
۶	۲۳,۶۵	$۲۳۴ \times 10^{-5}$	دیده نمی شود.
۷	۲۶	$۱۵۲۷ \times 10^{-5}$	دگرسانی شامل رگجه های جزیی کلریت و
۸	۳۰,۴۵	$۱۴۶۵ \times 10^{-5}$	زئولیت - کلسیت
۹	۳۵,۴۰	$۱۷۸۸ \times 10^{-5}$	
۱۰	۳۷,۸۵	$۱۷۶۶ \times 10^{-5}$	
۱۱	۴۲,۷۰	$۲۰,۸۸ \times 10^{-5}$	
۱۲	۴۵,۳۰	$۱۸۸۹ \times 10^{-5}$	
۱۳	۴۹,۲۵	$۲۰,۸۵ \times 10^{-5}$	
۱۴	۵۲,۳۵	$۲۷۵۰ \times 10^{-5}$	
۱۵	۵۷,۵۵	$۲۴۱۵ \times 10^{-5}$	
۱۶	۶۰	$۲۶۲۷ \times 10^{-5}$	

جدول ۳ پذیرفتاری مغناطیسی در نمونه های سرباره [۸]

ردیف	پذیرفتاری مغناطیسی (SI)
۱	$۲۵۵ \times 10^{-5}$
۲	$۱۳۸ \times 10^{-5}$
۳	$۲۵۸ \times 10^{-5}$
۴	$۱۱۲ \times 10^{-5}$
۵	$۲۵,۰ \times 10^{-5}$
۶	$۱۱۵ \times 10^{-5}$

مقایسه پذیرفتاری های مغناطیسی سنگ میزان (جدولهای ۱ و ۲) با سرباره ها (جدول ۳) نشان می دهد که پذیرفتاری مغناطیسی سرباره ها ۱۰ برابر کمتر از فلدسپار تراکی آندزیت پورفیری یعنی سنگ میزان است.

همچنین اندازه گیری های پذیرفتاری مغناطیسی از واحد آتشفسانی پیروکسن آندزیت پورفیری و فلدسپار تراکی آندزیت پورفیری از نمونه های بیرون زده سنگ های زیر نیمرخه ای

مغناطیسی در منطقه اکتشافی KC5 غربی انجام شد (جدولهای ۴ و ۵). مقایسه تغییرات میزان پذیرفتاری مغناطیسی اندازه‌گیری شده در این دو واحد آتشفشاری (جدولهای ۴ و ۵) نشان می‌دهد که تفاوت چندانی در این دو واحد از نظر پذیرفتاری مغناطیسی مشاهده نمی‌شود، اما میزان میانگین درهای دو واحد دو برابر کوچکتر از میانگین منطقه معدن مس دهن سیاه است. چند نمونه پذیرفتاری مغناطیسی از واحد آهکی- مارنی اندازه گیری شد، و چنانکه انتظار می‌رفت، مقدار آن  $SI = 15 \times 10^{-5}$  بوده است و یکدهم از واحدهای آتشفشاری است.

در مجموع بررسی پذیرفتاریهای مغناطیسی واحدهای سنگی منطقه اکتشافی KC5 غربی نشان می‌دهد که اختلاف قابل ملاحظه‌ای بین واحد آهکی- مارنی و واحدهای آتشفشاری وجود دارد، ولی از این نظر بین واحد پیروکسن آندزیت پورفیری و فلدرسپار تراکی آندزیت پورفیری اختلاف چندانی مشاهده نمی‌شود.

#### اندازه گیریهای مغناطیس زمینی

#### • منطقه معدن دهن سیاه

دو نیمرخ با امتداد E ۳۵° هر کدام به طول ۲۶۰ متر و به فاصله ۱۲۰ متر از یکدیگر و عمود بر امتداد واحدهای سنگی برای اندازه گیری انتخاب شدند. فواصل نقاط اندازه گیری بر نیمرخها ۱۰ متر در نظر گرفته شد. شروع نیمرخ از محل حوضچه شستشو با مختصات ۳۵° ۲۶' عرض شمالی و ۲۴° ۵۷' طول شرقی و ارتفاع ۱۲۳۰ متر از سطح دریا آغاز شد. مطابق معمول تصحیح تغییرات روزانه میدان مغناطیسی زمینی با برگشت به نقطه آغاز اندازه گیری پس از پایان نیمرخ دوم و تکرار قرائت در همان نقطه که کمتر از ۲ ساعت طول کشید، انجام شد. با دریافت آگاهیهای لازم از پایگاههای مغناطیس سنجی معتبر دنیا (NOAA) National Oceanographic and Atmospheric of America که تغییرات روزانه میدان را در روزهای برداشت آرام گزارش کرده بودند این تغییرات نادیده گرفته شدند.

جدول ۴ پذیرفتاری مغناطیسی در واحد پیروکسن آندزیت پورفیری در KC5 غربی [۸].

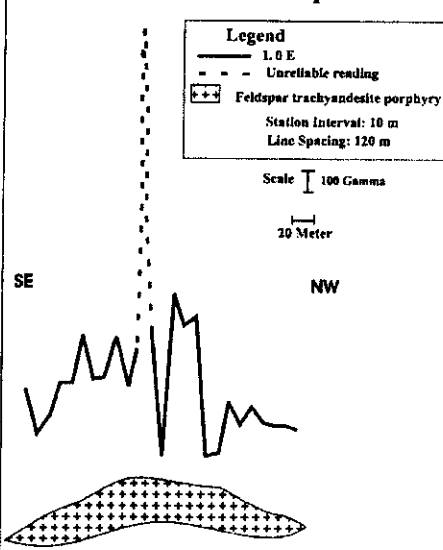
ردیف	پذیرفتاری مغناطیسی (SI)
۱	$1174 \times 10^{-5}$
۲	$350 \times 10^{-5}$
۳	$670 \times 10^{-5}$
۴	$816 \times 10^{-5}$
۵	$1046 \times 10^{-5}$
۶	$1265 \times 10^{-5}$
۷	$1370 \times 10^{-5}$

جدول ۵ پذیرفتاری مغناطیسی در واحد فلدسپات تراکی آندزیت پورفیری KC5 غربی [۸].

ردیف	پذیرفتاری مغناطیسی (SI)
۱	$730 \times 10^{-5}$
۲	$1400 \times 10^{-5}$
۳	$970 \times 10^{-5}$
۴	$734 \times 10^{-5}$
۵	$745 \times 10^{-5}$
۶	$892 \times 10^{-5}$

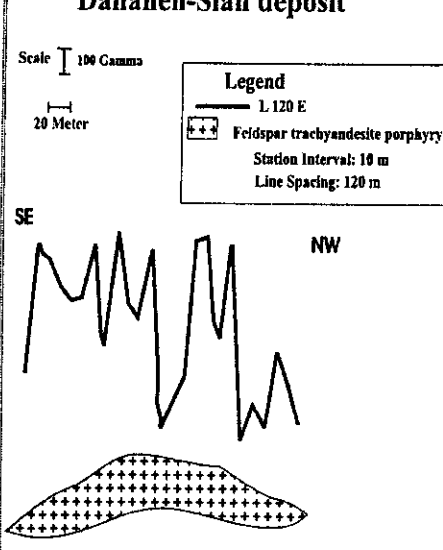
با استفاده از میدان اصلی مغناطیسی منطقه از نقشه مغناطیسی سازمان زمین‌شناسی کشور [۱۶] میدان اصلی به صورت برداری از اندازه‌گیریها کاسته شد. نیمرخ این برداشت‌ها پس از تصحیح روزانه میدان و میدان اصلی در شکلهای ۴ الف و ب آمده‌اند. دامنه بی‌هنجریهای مشاهده شده در نیمرخهای شکلهای ۴ الف و ب بین  $250^{\circ}$  تا  $500^{\circ}$  گاما متغیر بوده است که نتیجه پراکندگی مغنتیت در زمینه سنگ تعبیر می‌شود. این تغییرات در پذیرفتاری مغناطیسی اندازه‌گیری شده مغزه‌های حفاری نیز مشاهده می‌شود (جدولهای ۱ و ۲).

Dahaneh-Siah deposit



(الف)

Dahaneh-Siah deposit

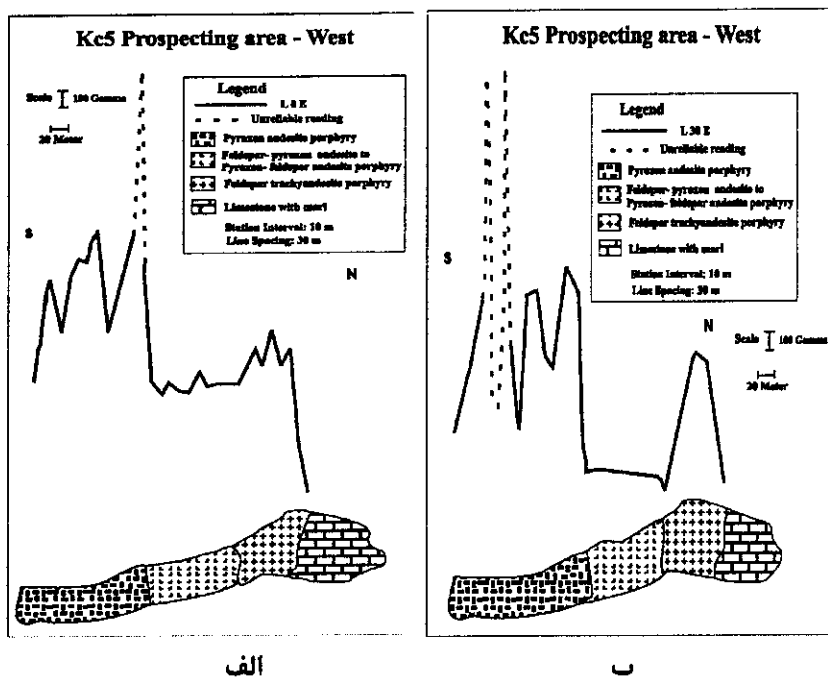


(ب)

شکل ۴ (الف) نیمرخ شدت میدان مغناطیسی L0E در معدن مس دهن سیاه و واحد سنگی تفسیر شده زیر پوشش آن. (ب) نیمرخ شدت میدان مغناطیسی L120E در معدن مس دهن سیاه و واحد سنگی تفسیر شده زیر پوشش آن [۸].

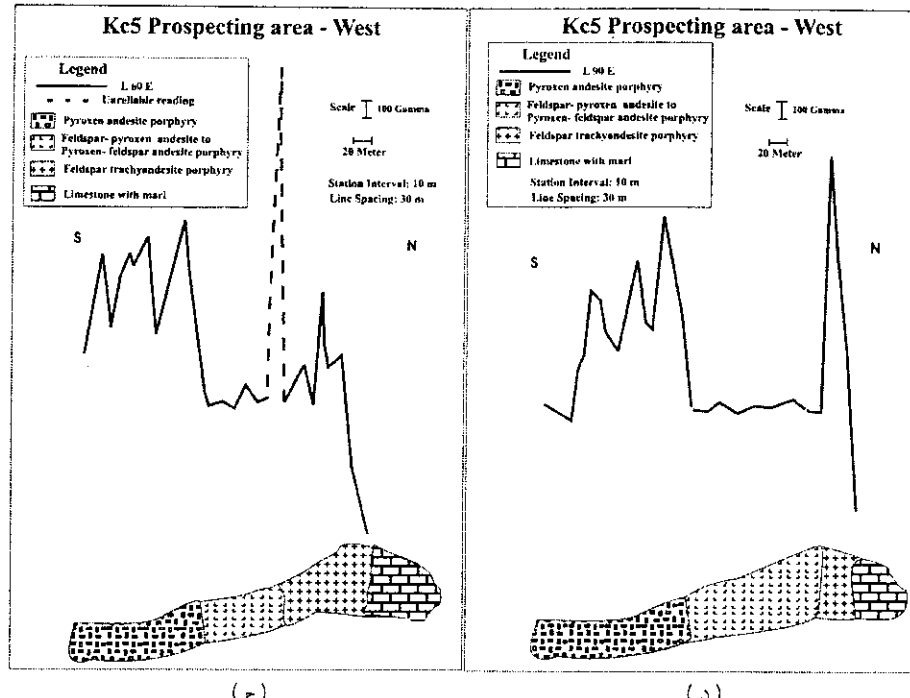
### • منطقه اکتشافی KC5 غربی

به صورت چشمگیری سنگی جهت اندازه‌گیری مغناطیسی در منطقه اکتشافی KC5 غربی، چهار نیمرخ شمالی-جنوبی به فاصله  $30$  متر از یکدیگر و به طول تقریبی  $350$  متر عمود بر امتداد واحدهای انتخاب شدند که فاصله نقاط اندازه‌گیری  $10$  متر بوده است. نیمرخ اول از جنوب به شمال و از نقطه‌ای با مختصات  $35^{\circ} 22'$  عرض شمالی و  $42^{\circ} 28'$  طول شرقی و ارتفاع  $1237$  متر از سطح دریا آغاز شد. با استفاده از نقشه مغناطیسی سازمان زمین‌شناسی کشور [۱۶] میدان اصلی به صورت برداری از اندازه‌گیریها کاسته شد. نتایج اندازه‌گیریها پس از تصحیح تغییرات روزانه میدان و تصحیح میدان اصلی به صورت نیمرخهایی در شکل ۵ مشاهده می‌شود. تغییرات دامنه بی‌亨جاري مغناطیسی از جنوب به شمال بهوضوح در هر چهار نیمرخ برداشت شده نشان دهنده واحدهای سنگی مختلف زیر پوشش این نیمرخهاست. قدیمی‌ترین واحد آتشفشاری یعنی پپروکسن آندزیت پورفیری در سمت جنوب دارای بیشترین دامنه بوده که محدوده‌ای از حداقل  $400$  تا  $900$  گاما دارد. این واحد با گسترشی در حدود  $130$  متر بر نیمرخها دیده می‌شود (شکل ۵).



شکل ۵ (الف) نیمرخ شدت میدان مغناطیسی KC5 در LoE غربی و واحدهای سنگی تفسیر شده زیر پوشش آن. (ب) نیمرخ شدت میدان مغناطیسی KC5 در L30E غربی و واحدهای سنگی تفسیر شده

زیر پوشش آن [۸].



(ج)

(د)

شکل ۵ ج) نیمرخ شدت میدان مغناطیسی L60E در KC5 غربی و واحدهای سنگی تفسیر شده زیر پوشش آن. د) نیمرخ شدت میدان مغناطیسی L90E در KC5 غربی و واحدهای سنگی تفسیر شده زیر پوشش آن [۸].

جوان ترین واحد سنگی شامل آهک- مارن- توف (واقع در شمال) است که بیهنجاری مغناطیسی در آن جهت به شدت کاهش می‌یابد شکلهای ۵ (الف، ب، ج و د). واحد آتشفسانی فلدسپار تراکی آندزیت پورفیری در زیر واحد جوان تهنشستی قرار دارد که دامنه کمتری نسبت به واحد پیروکسن آندزیت پورفیری نشان می‌دهد. دامنه کمینه در این واحد ۴۰۰ گاما و بیشینه آن ۵۰۰ گاما است. بین دو واحد آتشفسانی یاد شده و در فاصله تقریبی ۱۳۰ متر الی ۲۳۰ متر، دامنه بیهنجاری مغناطیسی تغییر چندانی نداشت و از نظر بزرگی بین دو واحد آتشفسانی بوده و واحد انتقالی تفسیر می‌شود. مطالعات مقاطع میکروسکوپی نمونه‌های برداشت شده، تبدیل تدریجی از پیروکسن آندزیت پورفیری به فلدسپار تراکی آندزیت پورفیری را نشان می‌دهد که تفسیر مغناطیسی را تائید می‌کند [۸].

میزان یکسان پذیرفتاری مغناطیسی (جدولهای ۴ و ۵) در نمونه‌های سطحی پیروکسن آندزیت پورفیری و فلدسپار تراکی آندزیت پورفیری در منطقه KC5 غربی می‌رساند که اگر تغییراتی در عمق وجود نداشته باشد، باید پاسخ مغناطیسی اندازه‌گیری شده در روی این دو

واحد سنگی هماهنگ باشد. مقایسه دامنه بی‌هنجری مغناطیسی اندازه‌گیری شده ناشی از پیروکسن آندزیت پورفیری و فلدسپار تراکی آندزیت پورفیری شکل ۵ نشان می‌دهد که اولی در حدود ۴۰۰ گاما بزرگتر از دومی است. این نشان می‌دهد که خاستگاه بی‌هنجری با دامنه بزرگتر باید در عمق واحد پیروکسن آندزیت پورفیری باشد.

مقایسه پذیرفتاریهای مغناطیسی اندازه‌گیری شده نمونه‌های سطحی از واحد فلدسپار تراکی آندزیت پورفیری در منطقه KC5 غربی و مغزه‌های حفاری از همان واحد آتشفسانی در منطقه معدن مس دهنۀ سیاه نشان می‌دهد که میانگین این پارامتر اندازه‌گیری شده در اولی نصف از دومی است (جدول ۶). با توجه به بی‌هنجری مغناطیسی با دامنه کوچکتر ناشی از فلدسپار تراکی آندزیت پورفیری در منطقه دهنۀ سیاه نسبت به بی‌هنجری ایجاد شده از همین واحد آتشفسانی در منطقه KC5 غربی و نیز پذیرفتاری مغناطیسی کمتر اندازه‌گیری شده از این سنگهای آتشفسانی در منطقه KC5 غربی نسبت به منطقه دهنۀ سیاه چنین نتیجه‌گیری می‌شود که باید افزایش پذیرفتاری مغناطیسی و در نتیجه خاستگاه بی‌هنجری با دامنة بزرگتر در منطقه اکتشافی KC5 غربی در عمق قرار داشته باشد. وجود کانی‌سازی ثانویه همراه با کانی‌سازی اصلی در منطقه دهنۀ سیاه در فلدسپار تراکی آندزیت پورفیری و عدم کانی‌سازی اصلی در این واحد آتشفسانی در منطقه KC5 غربی نشان می‌دهد که کانی‌سازی اصلی در منطقه KC5 غربی باید در عمق باشد.

همچنین مقایسه دامنه بی‌هنجری مغناطیسی اندازه‌گیری شده بر واحد پیروکسن آندزیت پورفیری در منطقه اکتشافی KC5 غربی و فلدسپار تراکی آندزیت پورفیری در منطقه معدن مس دهنۀ سیاه (جدول ۶) نشان می‌دهد که پیروکسن آندزیت پورفیری با وجود پذیرفتاری مغناطیسی کمتر، با دامنه بی‌هنجری از آن دو برابر فلدسپار تراکی آندزیت پورفیری است. این یافته‌ها مجدداً تایید دیگری است بر عمق مشترک خاستگاه بی‌هنجری مغناطیسی و کانی‌سازی پیروکسن آندزیت پورفیری در منطقه اکتشافی KC5 غربی.

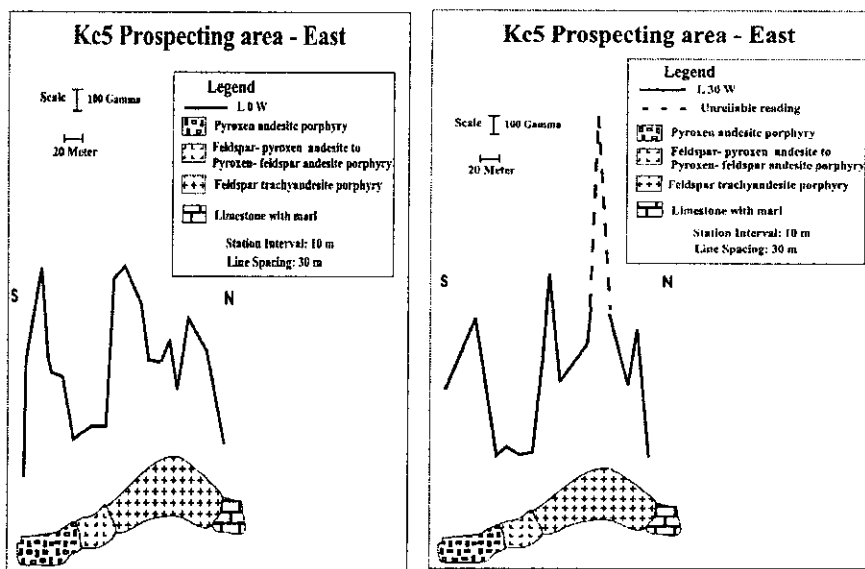
#### • منطقه KC5 شرقی

دو نیمرخ شمالی - جنوبی به طول ۲۲۰ متر و به فاصله ۳۰ متر از یکدیگر و عمود بر روند سنگهای آتشفسانی در منطقه KC5 شرقی انتخاب شدند که در آنها فاصلۀ نقاط اندازه‌گیری ۱۰ متر در نظر گرفته شد. نیمرخ اول در جنوب به مختصات "۲۸° ۲۵' عرض شمالی و "۳۳° ۵۷' طول شرقی و ارتفاع ۱۳۳۳ متر بوده است که در ۲ کیلومتری شرق روستای محمد زورآب قرار داشت. نتایج برداشت‌ها پس از تصحیح تغییرات وزانۀ میدان و تصحیح میدان اصلی در شکلهای ۶ الف و ب نشان داده شده‌اند. پاسخ مغناطیسی منطقه KC5 شرقی مانند منطقه KC5 غربی چهار واحد سنگی را نشان می‌دهد. از جنوب به شمال واحدهای سنگی پیروکسن آندزیت پورفیری، واحد انتقالی، فلدسپار تراکی آندزیت پورفیری و واحد آهکی- مارنی- توفی

تفسیر شده است. مقایسه بی هنجاری مغناطیسی ناشی از واحدهای آتشفشارانی در منطقه AK5 شرقی با KC5 غربی، شکلهای ۵ و ۶ نشان می دهد که در اولی دو واحد آتشفشارانی پاسخ مغناطیسی مشابه ای داشته، در حالیکه در دومی دامنه بی هنجاری ناشی از پیروکسن آندزیت پورفیری بزرگتر از فلدسپار تراکی آندزیت پورفیری است. چهار اندازه گیری پذیرفتاری مغناطیسی از نمونه های سطحی آتشفشارانی منطقه KC5 شرقی انجام شد (جدول ۷) که میزان یکسان پذیرفتاری مغناطیسی را نشان داده و یکسان بودن دامنه بی هنجاریهای حاصل از این واحدهای آتشفشارانی را در این منطقه تائید می کند.

جدول ۶ مقایسه پذیرفتاری مغناطیسی و دامنه بی هنجاری در KC5 غربی و دهن سیاه

		پیروکسن آندزیت پورفیری	فلدسبات تراکی آندزیت پورفیری	پارامتر اندازه گیری شده
دهنه سیاه	KC5 غربی	دهنه سیاه	KC5 غربی	دامنه بی هنجاری (گاما)
-	۹۰۰ تا ۴۰۰	۵۰۰ تا ۲۵۰	۵۰۰ تا ۴۰۰	
پذیرفتاری مغناطیسی (SI)				
-	۰,۰۰۳۵	۰,۰۰۱۱	۰,۰۰۳	حداقل
-	۰,۰۱۳۷	۰,۰۰۰۳۲	۰,۰۱۰۴	حداکثر
-	۰,۰۰۹	۰,۰۰۱۳	۰,۰۰۰۸۵۲	متوسط



شکل ۶ (الف) نیمرخ شدت میدان مغناطیسی L0W در KC5 شرقی و واحدهای سنگی تفسیر شده زیر پوشش آن. (ب) نیمرخ شدت میدان مغناطیسی L30W در KC5 شرقی و واحدهای سنگی تفسیر شده زیر پوشش آن [۸].

جدول ۷ مقدار پذيرفتاري مغناطيسی در واحدهای آتشفشاری KC5 شرقی [۸].

واحد سنگی	پذيرفتاري مغناطيسی (SI)
پيروكسن آندزيت پورفيرى	$1816 \times 10^{-5}$
پيروكسن آندزيت پورفيرى	$1995 \times 10^{-5}$
فلدسبات تراکي آندزيت پورفيرى	$1824 \times 10^{-5}$
فلدسبات تراکي آندزيت پورفيرى	$655 \times 10^{-5}$

مقایسه پذيرفتاري مغناطيسی و دامنه بی‌亨جاري مغناطيسی بین مناطق دهنۀ سیاه، KC5 غربی و KC5 شرقی نشان می‌دهد که اولی و سومی بیشتر به هم نزدیک بوده و با دومی از نظر دو کمیت یاد شده اختلاف دارد.

### بحث و برداشت

پذيرفتاري‌های مغناطيسی اندازه‌گيری شده روی واحد فلدسبار تراکي آندزيت پورفيری از مغزه‌های حفاری (از دوچاه که خارج از کانی‌سازی اصلی بوده و ضمناً کانی‌سازی در آنها ثانویه است) منطقه معدن دهنۀ سیاه نشان می‌دهد که میزان این پارامتر در هر دو چاه مشابه بوده و تغيير چندانی ندارد. ميانگين دامنه پذيرفتاري مغناطيسی  $SI = 1300 \times 10^{-5}$  است (جدولهای ۱ و ۲). پذيرفتاري‌های مغناطيسی اندازه‌گيری شده از سرباره‌های معدن اين منطقه (جدول ۳) يكدهم سنگ ميزبان است. اندازه‌گيری‌های اين كمیت فيزيکي در منطقه KC5 غربی روی نمونه‌های سطحی پيروكسن آندزيت پورفيری و فلدسبات تراکي آندزيت پورفيری، جدولهای ۴ و ۵ تفاوت چندانی با يكديگر نداشته و ميانگين آن  $SI = 850 \times 10^{-5}$  است. پذيرفتاري مغناطيسی سنگ‌های آتشفشاری منطقه KC5 غربی تقریباً نصف ميانگين در منطقه معدن مس دهنۀ سیاه است (fldسبار تراکي آندزيت پورفيری در هر دو منطقه مشاهده می‌شود).

شدت كل ميدان مغناطيسی در هشت نيمخ از ۲۳۶ نقطه در مناطق معدن مس دهنۀ سیاه، KC5 غربی و KC5 شرقی (شکلهای ۴، ۵ و ۶) اندازه‌گيری شد. دامنه بی‌亨جاري مغناطيسی اندازه‌گيری شده ناشی از واحد فلدسبات تراکي آندزيت پورفيری در منطقه معدن مس دهنۀ سیاه ۲۵۰ تا ۵۰۰ گاما، در منطقه KC5 غربی ۴۰۰ تا ۵۰۰ گاما است، و روی واحد پيروكسن آندزيت پورفيری در منطقه KC5 غربی ۴۰۰ تا ۹۰۰ گاما بوده است . پذيرفتاري مغناطيسی واحد فلدسبات تراکي آندزيت پورفيری در منطقه KC5 غربی حداقل نصف پذيرفتاري مغناطيسی اندازه‌گيری شده از همين واحد آتشفشاری در منطقه دهنۀ سیاه بوده در صورتیکه در KC5 غربی بزرگتر از همان واحد در دهنۀ سیاه است. بنابراین خاستگاه بی‌亨جاري با دامنه بزرگتر در منطقه KC5 غربی عميق است. بزرگترین دامنه بی‌亨جاري مغناطيسی روی واحد پيروكسن آندزيت پورفيری در منطقه KC5 غربی واقع شده در حالیکه

پذیرفتاری مغناطیسی آن با واحد آتشفشنای دیگر این منطقه یکسان است، باز هم نتیجه می‌شود که خاستگاه بی‌هنجاری ناشی از پیروکسن آندزیت پورفیری نیز در عمق قرار دارد. بی‌هنجاری مغناطیسی هوابردی با شدت بالای بررسی شده در این کار (شکل ۲) علاوه بر انطباق با آثار کانی‌سازی مس در محدوده اکتشافی KC5 و معدن متروکه مس دهنۀ سیاه، بر تعداد زیادی دیگر معدن متروکه مس (مثل چشمۀ گز، باتو، زنگالو و ...) در بخش مرز فوکانی واحد تراکی آندزیت پورفیری و بخش تحتانی تهنشستهای سری عربان در ناحیه منطبق است (برخی از آنها در شکل شماره ۱ نشان داده شده است). با توجه به فاصله این مناطق کانی‌سازی از یکدیگر و همانگی کانی‌سازی نایبوبته با بی‌هنجاری مغناطیسی هوابردی مثبت، در این افق خاص در طول حدود ۴۰ کیلومتر بدون شک این دو (کانی‌سازی اصلی و بی‌هنجاری مغناطیسی) با هم مرتبطند.

مطالعات ژئوشیمیابی تهنشستهای رودخانه‌ای نیز علاوه بر مناطق KC5 و دهنۀ سیاه، وجود بی‌هنجاریهای دیگری را نیز مرتبط با این افق کانی‌سازی را نیز تایید می‌کند. تمامی این معدن قدیمی و بی‌هنجاریهای ژئوشیمیابی دارای وجههای مشترکی از جمله پردازش با بی‌هنجاری مغناطیسی هوابردی، موقعیت زون کانی‌سازی، نوع دگرسانی، حالت کانی‌سازی و نوع کانیها هستند که نشان می‌دهد که این کانی‌سازی‌ها از یک خاستگاه و در شرایط یکسانی تشکیل شده‌اند [۸ و ۹].

همه این شواهد دلیلی بر این است که محلول کانه دار از برخورد بخش فوکانی فلدسپار تراکی آندزیت پورفیری و بخش تحتانی تهنشستهای سری عربان که گسلی بوده حرکت کرده و در افق مناسبی در درز و شکستگیها کانی‌سازی مس شکل گرفته است. حضور زئولیتهای کلسیم‌دار و کلسیت موید این است که pH محلول کانی‌سازی قلبانی و محلول غنی از کلسیم بوده است. گستردۀ بودن کانی‌سازی در طول ۴۰ کیلومتر نشان می‌دهد که خاستگاه کانی‌سازی بسیار وسیع بوده و بی‌جوانیهای بزرگتری را می‌طلبد [۸].

#### مراجع

- [1] Lindenberg H. G., Jacobshagen V., "Post- Paleozoic geology of the Taknar Zone and adjacent area, NE Iran, Khorasan", GSI. Rep. No. 51 145-163 (1983).
- [2] Davondzaeh M., Soffel H., Schmidt K., "on the rotation of central-east Iran microplate", N. jb Geol. Polaont. Mh, 1983(3) 180-192, 3 figs, Stuttgart (1981).
- [3] Soffel H., Forster H., "apparent polar wander path of Central Iran and its geotectonic interpretation", J. Geomag. Geoelectr, 32, Suppl. III 117- 135 Tokyo (1980).

[4] Soffel G., Davodzadeh M., Rolf C., Schmidt S., "New paleomagnetic data from Iran", *Geo Sci*, V.4. No.14, GSI 68-76 (1995).

[5] Eftekharnezhad J., Aghanabati A., Baroyant V., Hamzehpour B., "Geological Quadrant map of kashmar", 1:250000 (1976).

[6] Pilger A., "Die zeitlich- tektoiche Entwicklung der iranischern Gebirge-Clausthaler Geol", *Abh.*, 8, 1-27 4 figs 5pls., Clausthal- Zellerfeld 1971 (1971).

[۷] حیدریان محمد رضا، "بررسی داده‌های مغناطیسی هوایی کوه زر در تربت حیدریه و دنه سیاه در کاشمر جهت شناخت مناطق با پتانسیل کانی‌سازی طلا و مس"، ارائه شده در بیستمین کنفرانس علوم زمین (۱۳۸۰).

[۸] کریمپور محمد حسن، ملکزاده شفارودی آزاده، "زمین‌شناسی، کانی‌سازی و آلتراسیون در محدوده اکتشافی مس KC5 استان خراسان رضوی"، مجموعه مقالات دوازدهمین همایش بلورشناسی و کانی‌شناسی ایران، دانشگاه شهید چمران اهواز، صفحه ۱۸۵ (۱۳۸۳).

[۹] حیدریان محمد رضا، کریمپور محمد حسن، ملکزاده شفارودی آزاده، "اندازه‌گیری مغناطیسی زمینی در منطقه معدن مس دنه سیاه و محدوده اکتشافی KC5 (بردسکن- استان خراسان رضوی)", طرح پژوهشی مرکز تحقیقات ذخایر معدنی شرق ایران، دانشگاه فردوسی مشهد، ۱۳۰ صفحه (۱۳۸۳).

[10] Exploration text of geochemical map of Doruneh., "Stream Sediment Survey, Scale 1:100000", geological survey of Iran, Report No.16 (1996).

[۱۱] حیدری عباسعلی، نازیبور غلامرضا، کریمپور محمد حسن، سعادت سعید، "تگریشی بر شواهد کانی‌سازی مس در شمال درونه"، فشرده مقالات هشتمین همایش انجمن بلورشناسی و کانی‌شناسی ایران، دانشگاه فردوسی مشهد، صفحه ۵۶-۵۱ (۱۳۷۹).

[۱۲] خوئی ناصر، قربانی منصور، تاجبخش پیمان، "کانسراهای مس در ایران"، سازمان زمین‌شناسی و اکتشافات معدنی کشور، ۴۲۱ صفحه (۱۳۷۸).

[13] Clark D.A., "Comments On magnetic petrophysics", the Bulletin of the Australian Society of Exploration Geophysicists, 14 49-62 (1983).

[14] Clark D. A., "Notes on rock magnetization characteristics in applied Geophysical Studies", the Bulletin of the Australian Society of Exploration Geophysicists, 22- 547-557 (1991).

[15] Telford W. M., Geldart L. p., Sheriff R. E., "Applied Geophysics", second edition, Cambridge University press (1998).

[۱۶] یوسفی امامقلی، "نقشه شدت میدان کل مغناطیسی ۱:۱۰۰۰۰۰ سازمان زمین شناسی"، برگه شماره ۲، سازمان زمین‌شناسی کشور (۲۰۰۰).